

УДК 523.34—83

## Численное моделирование рассеивающих свойств лунной поверхности

А. В. Белобров, И. М. Фукс

С помощью решения задачи рассеяния электромагнитной волны на статистически неровной поверхности интерпретированы данные по радиолокации Луны. Определен пространственный спектр шероховатостей лунной поверхности.

*RADIO WAVE SCATTERING FROM THE LUNAR SURFACE: A NUMERICAL MODEL, by Belobrov A. V., Fuks I. M.*—The data of radar scattering from the Moon have been interpreted in terms of electromagnetic wave diffraction by a statistically uneven (rough) surface. The spatial spectrum of the roughness has been determined.

Радиолокация тел Солнечной системы позволяет определить морфологические и электрофизические (в основном диэлектрическую проницаемость  $\epsilon$ ) параметры их поверхностей. Достоверность полученных результатов, как правило, определяется теоретической моделью, описывающей рассеяние электромагнитных волн на статистически неровных поверхностях. Наиболее полные экспериментальные результаты радиолокации Луны на волнах 3.8, 23 и 68 см (библиографию см. в [4]) в свое время были детально проанализированы [8] на основании решения задачи дифракции в приближении физической оптики. Несмотря на хорошее совпадение расчетных и экспериментальных данных, существенным недостатком является то, что корреляционная функция возвышений Луны содержит параметры, зависящие от длины волны. Более подробно это обсуждается в [5], где с помощью приближения Кирхгофа по квазизеркальным областям экспериментальных кривых ( $0 < \theta \leq 30^\circ$ ,  $\theta$  — угол падения) определены пространственный спектр и структурная функция шероховатостей поверхности Луны.

В настоящей работе параметры поверхности Луны определяются по более широкой — диффузной — области ( $\theta > 30^\circ$ ). При этом используются теоретические модели, которые апробированы в наземных условиях [7].

При облучении Луны короткими импульсами в каждый момент переизлучает кольцевая зона  $S$ , концентричная направлению распространения падающего поля с электрической составляющей  $\mathcal{E} = \rho_0 E_0 \times \chi_{\text{exp}}(ikr - i\omega t)$ , где  $\rho_0$  — единичный вектор поляризации падающего поля;  $\mathbf{k}$  — волновой вектор;  $E_0$  — амплитуда поля (рис. 1). Время запаздывания  $t$  переизлученного сигнала относительно начала приема (отражения от ближайшей к приемнику подрадарной точки  $A_0$  на поверхности Луны) связано с углом падения  $\theta$  (углом между вектором  $\mathbf{k}$  и нормалью  $\mathbf{N}_0$  к средней поверхности Луны — сфере радиусом  $R_L \sim 1738$  км) соотношением

$$t = 2R_L(1 - \cos \theta)/c,$$

где  $c$  — скорость света.

На рис. 1 изображена полусфера радиусом  $R_L$ , обращенная к радиолокатору. Начало прямоугольной системы координат  $\{X, Y, Z\}$  расположено в центре большого круга, ось  $Z$  направлена навстречу падающему полю. В экспериментах на волнах 3.8, 23 и 68 см использовалась круговая поляризация (чтобы при обработке не учитывать поворот вектора поляризации из-за фарадеевского вращения). Для определенности возьмем  $\rho_0 = \mathbf{e}_{-1}$ , т. е. поле  $\mathcal{E}$  вращается против ча-

совой стрелки, если смотреть вдоль распространения волны [ $\mathbf{e}_{-1} = (\mathbf{e}_x + i\mathbf{e}_y)/\sqrt{2}$ ,  $\mathbf{e}_{+1} = -(\mathbf{e}_x - i\mathbf{e}_y)/\sqrt{2}$  — циклические орты].

Выберем в кольцевой зоне элементарный участок  $S_0(F'D'DF)$ , стороны которого  $F'D' = FD = c\tau/\sin\theta$  определяются длительностью импульса  $\tau$ , а  $F'F \approx D'D$ . В экспериментах для более детального картографирования использовались короткие импульсы  $\tau \sim 10$  мкс. Даже при минимальном угле  $\theta_{\min} = \arcsin [c\tau/(2R_0\lambda)]^{1/2}$ , при котором кольцо стремится к шаровому сектору вблизи подрадарной точки  $A_0$ , а сторона  $FD \sim 72$  км максимальна, кривизной элементарного участка  $S_0$  можно пренебречь и использовать результаты задачи рассеяния волн на шероховатой, в среднем плоской поверхности. Если вве-

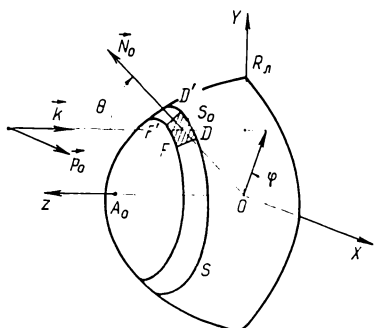


Рис. 1. Схема радиолокационного облучения Луны коротким импульсом

сти сферическую систему координат  $\{r, \theta, \varphi\}$  с началом в центре сферы  $O$ , то для локально плоского участка  $S_0$  прямоугольную систему  $\{x, y, z\}$  удобно определить, направив ее оси вдоль единичных ортов сферической системы:  $e_x = e_\theta$ ,  $e_y = e_\varphi$ ,  $e_z = e_r = N_0$ . При этом орты  $e_x, e_y, e_z$  выражаются через орты системы  $\{X, Y, Z\}$  известным способом и

$$N_0 = e_x \sin \theta \cos \varphi + e_y \sin \theta \sin \varphi + e_z \cos \theta. \quad (1)$$

Используемая в радиолокации удельная эффективная поверхность рассеяния (далее — просто сечение рассеяния) площадки  $S_0$  определяется формулой

$$\sigma(\theta, \varphi, \mathbf{p}, \mathbf{p}_0) = 4\pi \langle |\mathbf{E}(\mathbf{p}, \mathbf{p}_0)|^2 \rangle R_0^2 / (E_0^2 S_0),$$

где  $\mathbf{E}$  — рассеянное поле в точке приема, удаленной на расстояние  $R_0$ ;  $\mathbf{p}$  — единичный вектор поляризации приемной антенны. Решение задачи дифракции электромагнитной волны на шероховатой поверхности с диэлектрической проницаемостью  $\epsilon = \epsilon' + i\epsilon''$  в приближении теории возмущений [1] (высоты неровностей поверхности  $z = \zeta(\mathbf{r})$ ,  $\mathbf{r}(x, y)$  малы по сравнению с длиной волны, а сами они пологие) приводит к следующему выражению [6]:

$$\sigma(\theta, \varphi, \mathbf{p}, \mathbf{p}_0) = 16\pi k^4 |A(\mathbf{p}, \mathbf{p}_0) + B(\mathbf{N}_0 \mathbf{p})(\mathbf{N}_0 \mathbf{p}_0)|^2 S(2\mathbf{k}_\perp), \quad (2)$$

где  $A = (\epsilon - 1)[a/(a + b)]^2$ ;  $B = 2(\epsilon - 1)^2 a^2 b(b + a\epsilon)^{-2}(a + b)^{-1} \sin^2 \theta$ ;  $a = -(\mathbf{N}_0 \mathbf{k})/k = \cos \theta$ ;  $b = \sqrt{\epsilon - \sin^2 \theta}$ ;  $\mathbf{k}_\perp$  — проекция  $\mathbf{k}$  на плоскость  $(x, y)$ , а пространственный спектр  $S(\mathbf{x})$  введен как преобразование Фурье от корреляционной функции  $W(\boldsymbol{\rho}) = \langle \zeta(\mathbf{r} + \boldsymbol{\rho}) \zeta(\mathbf{r}) \rangle$ :

$$S(\mathbf{x}) = \frac{1}{(2\pi)^2} \iint_{-\infty}^{\infty} W(\boldsymbol{\rho}) e^{i\mathbf{x}\boldsymbol{\rho}} d^2 \boldsymbol{\rho}.$$

Измеренное при экспериментах значение полного сечения рассеяния  $\sigma_s(\theta)$  (отраженный сигнал принимался одновременно на две ортогональные поляризации приемной антенны) следует сравнивать с усредненной величиной  $\sigma(\theta, \varphi, \mathbf{p}, \mathbf{p}_0)$  по всей площади  $S$  кольцевой зоны

$$\sigma_h(\theta, \mathbf{p}, \mathbf{p}_0) = \frac{1}{S} \int_S \sigma(\theta, \varphi, \mathbf{p}, \mathbf{p}_0) dS = \frac{1}{2\pi} \int_0^{2\pi} \sigma(\theta, \varphi, \mathbf{p}, \mathbf{p}_0) d\varphi. \quad (3)$$

Раскрывая скалярные произведения в (2) в системе  $\{X, Y, Z\}$ , учитывая при этом выражение (1) для нормали  $N_0$  и интегрируя затем по формуле (3), получаем полное сечение рассеяния  $\sigma(\theta) = \sigma_k(\theta, e^*_{+1}, e_{-1}) + \sigma_k(\theta, e^*_{-1}, e_{-1})$  в таком виде:

$$\sigma(\theta) = 16\pi k^4 Q(\theta, \epsilon) S(2k \sin \theta), \quad (4)$$

где  $Q(\theta, \epsilon) = |A|^2 + \text{Re}(AB^*) + |B|^2/2$ .

При выводе формулы (4) сделано предположение о пространственной изотропии шероховатостей:  $S(2k_{\perp}) \equiv S(2|k_{\perp}|) = S(2k \sin \theta)$ . Вве-

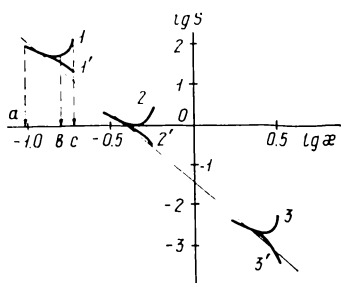
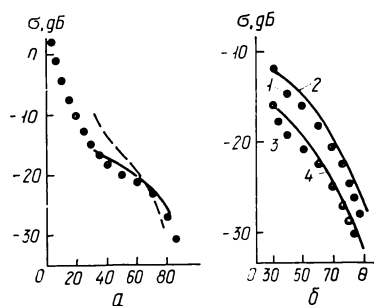


Рис. 2. Пространственный энергетический спектр шероховатостей лунной поверхности, восстановленный по радиолокационным данным, приведенным на рис. 3 а, б

Рис. 3. Зависимости удельного эффективного сечения радиолокационного рассеяния от угла падения для трех длин волн (точки — экспериментальные данные)



денный в [5] формулой (2) усредненный по направлениям спектр, который мы обозначили через  $\bar{S}(x)$ , связан с  $S(x)$  для изотропных шероховатостей соотношением  $\bar{S}(x) = 2\pi S(x)$ .

Сравнивая расчетное значение  $\sigma(\theta)$  в выражении (4) с экспериментально наблюдаемыми зависимостями  $\sigma_s(\theta)$  для разных длин волн и при различных  $\theta$ , можно определить пространственный спектр  $S(x)$ . Диэлектрическая проницаемость  $\epsilon$ , от которой зависит значение множителя  $Q(\theta, \epsilon)$ , определяется по  $\sigma_s(\theta)$  в квазизеркальной области с помощью формулы (13) из работы [6]. Для трех длин волн  $\lambda_1 = 3.8$ ,  $\lambda_2 = 23$ ,  $\lambda_3 = 68$  см получаем следующие значения:  $\epsilon_1 = 2.26$ ;  $\epsilon_2 = 2.51$ ;  $\epsilon_3 = 2.63$ . Эти значения находятся в хорошем согласии с результатами измерений другими радиоастрономическими методами [4, 8]. На рис. 2 зависимости  $S(x)$ , рассчитанные по формуле  $S(x) = \sigma_s(\theta) / [16\pi k^4 Q \times X(\epsilon, \theta)]$ , где  $x = 2k \sin \theta$ , а экспериментальные данные  $\sigma_s(\theta)$  представлены точками на рис. 3, а ( $\lambda = 23$  см) и рис. 3, б ( $1 - \lambda = 3.8$  см,  $3 - \lambda = 68$  см). Каждая ветвь  $S(x)$  на рис. 2 соответствует фиксированной длине волны ( $1 - 68$  см;  $2 - 23$  см;  $3 - 3.8$  см), а изменение  $x$  в пределах одной ветви связано с изменением угла падения  $\theta$ . Например, при  $\lambda = 68$  см интервал  $ab$  соответствует изменению  $\theta$  от  $30^\circ$  до  $60^\circ$ , а  $bc$  — от  $60^\circ$  до  $90^\circ$ . Значение  $\lg S(x)$  при фиксированных  $\theta$  оказывается линейной функцией от  $\lg x$ , наклон которой одинаков для всех  $\theta$  и равен  $-11/3$ .

Таким образом, из рис. 2 следует зависимость  $S(x) = g x^{-11/3}$ . Неопределенность в значении коэффициента  $g$  связана с тем, что формула (4) получена в приближении теории возмущений; в ней не учитываются ни модуляции мелкомасштабных шероховатостей наклонами крупномасштабной части рельефа, ни затенения, которые становятся существенными при скольльзящем облучении ( $\theta \geq 60^\circ$ ).

Допустим, что мелкомасштабные неровности  $\zeta(\mathbf{r})$  с пространственным спектром  $S(x)$  наложены на крупномасштабную достаточно гладкую поверхность, отклонение которой от  $S_0$  описывается функцией  $z = \Omega(\mathbf{r})$ ,  $\mathbf{r}(x, y)$  в системе координат  $\{x, y, z\}$ , связанной с  $S_0$ . Эта

система ориентирована так, что ось  $x$  лежит в плоскости падения, образуемой векторами  $\mathbf{N}_0$  и  $\mathbf{k}$ . Если обозначить через  $w(\gamma)$  плотность распределения вероятностей наклонов  $\gamma = \nabla_r \Omega(\mathbf{r})$  крупномасштабной поверхности, то среднее сечение рассеяния  $\tilde{\sigma}(\theta)$  на такой двухмасштабной поверхности определяется по формуле [3]:

$$\tilde{\sigma}(\theta) = \int_{-\text{ctg}\theta}^{\infty} d\gamma_x \int_{-\infty}^{\infty} d\gamma_y w(\gamma) C(\theta, \gamma_x) \sigma(\theta'), \quad (5)$$

где  $C$  — множитель для учета затенения поверхности;

$$C(\theta, \gamma_x) = (1 + \gamma_x \text{tg } \theta) / \Lambda;$$

$$\Lambda = \int_{-\text{ctg}\theta}^{\infty} d\gamma_x \int_{-\infty}^{\infty} d\gamma_y w(\gamma) (1 + \gamma_x \text{tg } \theta), \quad (6)$$

а  $\sigma(\theta')$  дается выражением (4), в котором  $\theta$  следует заменить на «локальный» (на участке поверхности с наклоном  $\gamma$ ) угол падения  $\theta'$  — угол между  $-\mathbf{k}$  и нормалью  $\mathbf{N} = (\mathbf{e}_z - \gamma) / \sqrt{1 + \gamma^2}$  к поверхности  $z = \Omega(\mathbf{r})$ ;  $\cos \theta' = -(\mathbf{kN})/k = (\gamma_x \sin \theta + \cos \theta) / \sqrt{1 + \gamma^2}$ .

При вычислении по формуле (5) спектр мелкомасштабных неровностей  $S(\kappa)$  следует ограничить со стороны крупных масштабов — малых пространственных частот:  $S(\kappa) = 0$  при  $\kappa < \alpha k$ , где  $\alpha \approx 0.5 - 1$  [5].

Для гауссовой изотропной случайной функции  $\Omega(\mathbf{r})$  с дисперсией наклонов  $\gamma^2_0 = \langle |\gamma|^2 \rangle$  плотность распределения  $w(\gamma)$  является функцией только модуля  $\gamma \equiv |\gamma|$ :

$$w(\gamma) = \frac{1}{\pi \gamma_0^2} \exp(-\gamma^2 / \gamma_0^2),$$

а формула (6) выражается через интеграл вероятности  $\Phi(x)$ :

$$\Lambda = \frac{1}{2} [1 + \Phi(\text{ctg } \theta / \gamma_0)] + [\gamma_0 \text{tg } \theta / (2 \sqrt{\pi})] \exp(-\text{ctg}^2 \theta / \gamma_0^2);$$

$$\Phi(x) = \frac{2}{\sqrt{\pi}} \int_0^x \exp(-t^2) dt.$$

Дисперсия наклонов  $\gamma^2_0$  в [5] определена путем экстраполяции экспериментальных данных  $\sigma_s(\theta)$  в область  $\theta \rightarrow 0$  (минимальное значение  $\theta$  в экспериментах составляет  $2.38^\circ$ ) и оказалась равной  $\gamma^2_0 = A_1 k^{1/3}$  с  $A_1 = 0.068 \text{ см}^{1/3}$ . Более последовательное определение  $\gamma^2_0$  по данным  $\sigma_s(\theta)$  в квазизеркальной области проведено в [2], где получено значение  $A_2 \approx 0.1 \text{ см}^{1/3}$ . На рис. 3, а пунктирной кривой показана зависимость  $\sigma(\theta)$ , построенная по формуле (4) для  $S(\kappa) = g \kappa^{-11/3}$  при  $g = 0.04 \text{ см}^{-1/3}$ . Данное значение постоянной  $g$  стало исходным для численных расчетов по формуле (5). Наилучшее согласие расчетных данных с  $\sigma_s(\theta)$  показано на рис. 3, а сплошной линией; оно получено при  $g = 0.02 \text{ см}^{-1/3}$  и  $\alpha = 0.65$ . Соответствующая данному спектру мелких неровностей дисперсия наклонов

$$\gamma^2_0 = 2\pi \int_0^{\alpha k} S(\kappa) \kappa^3 d\kappa$$

оказалась равной  $\gamma^2_0 = A_3 k^{1/3}$ ,  $A_3 = 0.37 \text{ см}^{1/3}$ .

На рис. 3, б сплошными линиями показано, как в двухмасштабной модели (5) с найденным спектром и дисперсией наклонов интерпретируются экспериментальные данные в диффузной области для  $\lambda = 3.8 \text{ см}$  (кривая 2) и  $\lambda = 68 \text{ см}$  (кривая 4). Если разность  $\Delta\sigma(\theta) = \tilde{\sigma}(\theta) - \sigma(\theta)$

(возникающую вследствие учета затенений и наклонов крупномасштабного рельефа) вычсть из  $\sigma_3(\theta)$  и только после этого определять  $S(x)$  по формуле (4) из теории возмущений, заменив  $\sigma_3(\theta)$  на  $\tilde{\sigma}_3(\theta) = \sigma_3(\theta) - \Delta\sigma(\theta)$ , то мы получим зависимости (рис. 2, ветви 1', 2', 3'), хорошо согласующиеся между собой в разных областях  $x$ , соответствующих разным длинам волн  $\lambda_1, \lambda_2, \lambda_3$ . Прямая линия на рис. 2 отвечает значению  $g \sim 0.03 \text{ см}^{-1/3}$ .

Таким образом, экспериментальным данным можно дать интерпретацию в рамках двухмасштабной модели поверхности — мелкой ряби со спектром  $S_\zeta(x) = gx^{-11/3}$  ( $g \sim 0.03 \pm 0.01 \text{ см}^{-1/3}$ , параметр разбиения  $\alpha \sim 0.6-0.9$ ), расположенной на крупномасштабном рельефе с дисперсией наклонов  $\gamma^2_0 \approx Ak^{1/3}$ ,  $A \sim 0.3-0.4 \text{ см}^{1/3}$ .

1. *Басс Ф. Г., Фукс И. М.* Рассеяние волн на статистически неровной поверхности.— М.: Наука, 1972.—424 с.
2. *Белобров А. В., Воропаев В. Н.* Исследование частотно-угловых зависимостей УЭПР Луны в СВЧ диапазоне.— Харьков, 1986.—26 с.— (Препр./АН УССР. Ин-т радиофизики и электроники; № 305).
3. *Копилов Л. Е., Фукс И. М.* Индикатрисы рассеяния и альbedo слабошероховатых поверхностей // Изв. вузов. Радиофизика.— 1981.—24, № 7.— С. 840—849.
4. *Крупенио Н. Н.* Радиолокационные исследования Луны.— М.: Наука, 1971.—172 с.
5. *Фукс И. М.* Структурная функция лунного рельефа по радиолокационным данным // Изв. вузов. Радиофизика.— 1983.—26, № 10.— С. 1194—1204.
6. *Фукс И. М.* Дисперсионные зависимости и обратная задача рассеяния на слабошероховатой поверхности // Там же.— 1985.—28, № 2.— С. 177—183.
7. *Bass F. G., Fuks I. M., Kalmykov A. I. et al.* Very high frequency radio wave scattering by a disturbed sea surface // Trans. IEEE.— 1968.— AP-16, N 5.— P. 554—568.
8. *Evans J. V., Hagfors T.* Radar studies of the Moon // Adv. Astron. and Astrophys.— 1971.—8.— P. 29—105.

Радиоастрон. ин-т АН УССР,  
Харьков

Поступила в редакцию 04.01.88,  
после доработки 29.02.88